

# 磁気島によるポロイダル流の 生成

西村征也、矢木雅敏<sup>1)</sup>、伊藤早苗<sup>1)</sup>、安積正史<sup>2)</sup>、伊藤公孝<sup>3)</sup>  
九州大学大学院総合理工学府、<sup>1)</sup>九州大学応用力学研究所  
<sup>2)</sup>日本原子力研究開発機構システム計算機センター、<sup>3)</sup>核融合研究所

## Acknowledgement

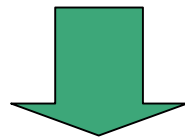
S. Benkadda(Province Univ.), A. Fukuyama(Kyoto Univ.), P. H. Diamond(UCSD)

# 目次

- 研究の目的と背景
- 解析モデル
  - 簡約2流体モデル
  - 解析手法
- 解析結果
- 結論

# 研究の背景と目的

- 高 $\beta$ トカマクプラズマにおける磁気島： ブートストラップ電流発生への抑制(圧力勾配平坦化) 定常運転への障害
- 未解明の問題(制御の困難)： 早いタイムスケールでの成長  
プラズマパラメータに対する確率的振る舞い 鋸歯状振動やELMによる励起(およびBack Interaction)
- ドリフト-テアリングモード： 磁気島とドリフト波乱流の共存 有用な理論モデル 磁気島発生-消滅のヒステリシス ポロイダル流の生成
- ポロイダル流： 磁気島の成長への影響は無い 詳細な解析はほとんど無い 乱流-帯状流の重要性の高まり
- 磁気島の回転周波数の輸送係数依存： ホットな話題



ドリフト-テアリングモードの非線形シミュレーション

ポロイダル流 回転周波数 熱流束

# 簡約2流体モデル

Tearing mode

渦度方程式:

$$\frac{D}{Dt} \nabla_{\perp}^2 \phi = \nabla_{\parallel} j_{\parallel} + \mu \nabla_{\perp}^4 \phi$$

オームの法則:

$$\frac{\partial A}{\partial t} = -\nabla_{\parallel} (\phi - \delta p) - \eta_{\parallel} j_{\parallel} + \alpha_T \delta \nabla_{\parallel} T$$

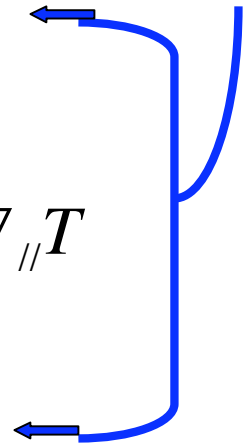
密度発展則:

$$\frac{Dn}{Dt} + \beta \frac{Dp}{Dt} = \beta \delta \nabla_{\parallel} j_{\parallel} + \eta_{\perp} \nabla_{\perp}^2 p$$

電子温度発展則:

$$\frac{3}{2} \frac{DT}{Dt} - \frac{Dn}{Dt} = \alpha_T \delta \beta \nabla_{\parallel} j_{\parallel} + \varepsilon^2 \chi_{\parallel} \nabla_{\parallel}^2 T + \chi_{\perp} \nabla_{\perp}^2 T$$

Resistive Drift mode



ただし

$$\alpha_T = 0.71$$

$$p = nT$$

$$j_{\parallel} = -\nabla_{\perp}^2 A$$

$$\frac{D}{Dt} = \frac{\partial}{\partial t} + [\phi, ]$$

$$[f, g] = \hat{\mathbf{z}} \cdot \nabla f \times \nabla g$$

$$\nabla_{\perp} = \hat{\mathbf{r}} \frac{\partial}{\partial r} + \hat{\theta} \frac{1}{r} \frac{\partial}{\partial \theta}$$

$$\nabla_{\parallel} = \frac{\partial}{\partial z} - [A, ]$$

規格化 :  $r/a \rightarrow r, z/R_0 \rightarrow z, v_A t/R_0 \rightarrow t$

# エネルギー保存関係

ハミルトニアン:

$$H = \frac{1}{2} \langle |\nabla_{\perp} \phi|^2 \rangle + \frac{1}{2} \langle |\nabla_{\perp} A|^2 \rangle + \frac{1}{2\beta} \langle n^2 \rangle + \frac{3}{4\beta} \langle T^2 \rangle + \frac{\beta_s}{2\beta} \langle (n + T)^2 \rangle$$

速度場  
(静電場)

ポロイダル磁場

密度、温度場

ハミルトニアンの時間発展:

$$\frac{\partial}{\partial t} H = -\mu \langle (\nabla_{\perp}^2 \phi)^2 \rangle - \eta_{\parallel} \langle (\nabla_{\perp}^2 A)^2 \rangle - \eta_{\perp} \langle |\nabla_{\perp} p|^2 \rangle - \frac{\varepsilon^2 \chi_{\parallel}}{\beta} \langle |\nabla_{\parallel} T|^2 \rangle - \frac{\chi_{\perp}}{\beta} \langle |\nabla_{\perp} T|^2 \rangle$$

無散逸極限  $\rightarrow$  保存

# 数値解析法

円柱配位 :

r方向に有限差分  
 $\theta, z$ 方向にフーリエ展開

$$f(\mathbf{r}) = f_0(r) + \varepsilon \sum_{m,n} \tilde{f}_{mn}(r) e^{i\{(m\theta - nz) - \omega t\}}$$

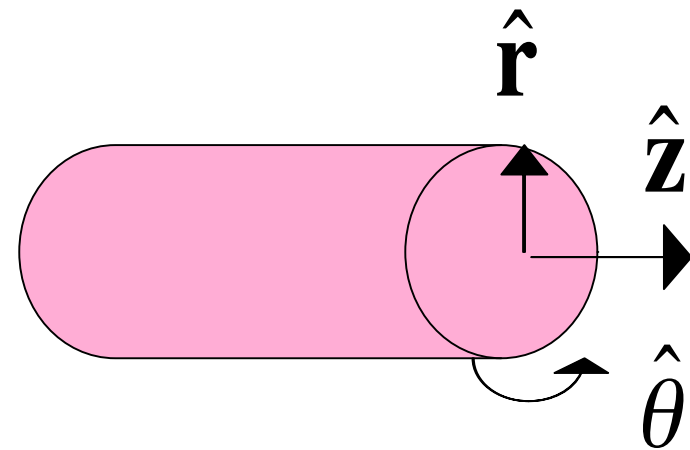
境界条件 :

$$\tilde{f}_{m,n}(0) = 0, \tilde{f}_{m,n}(1) = 0$$

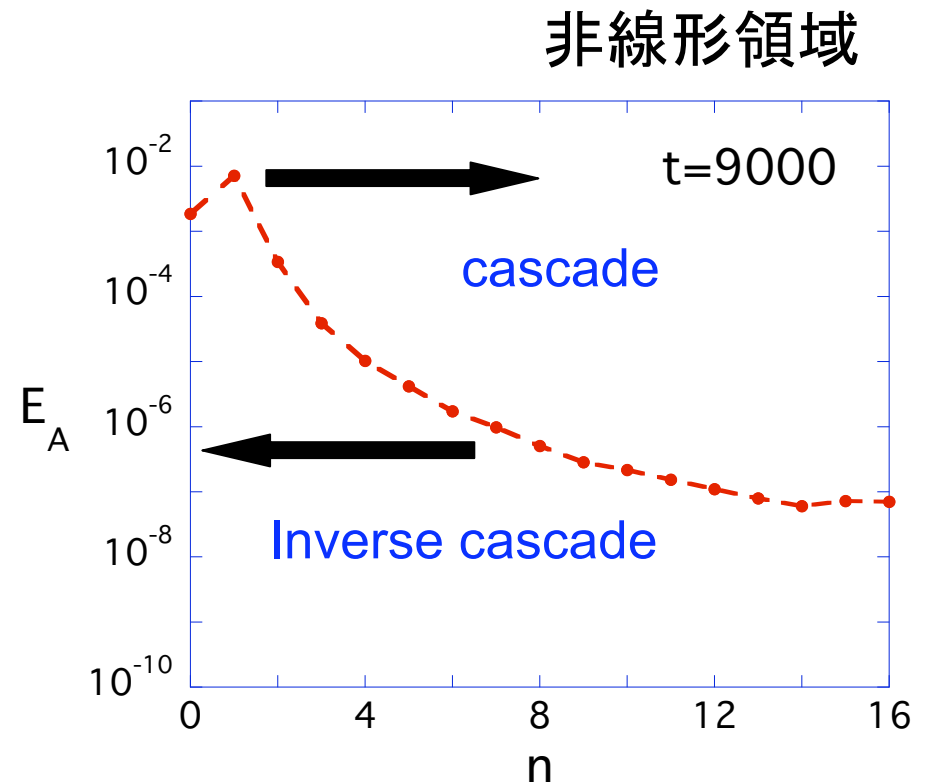
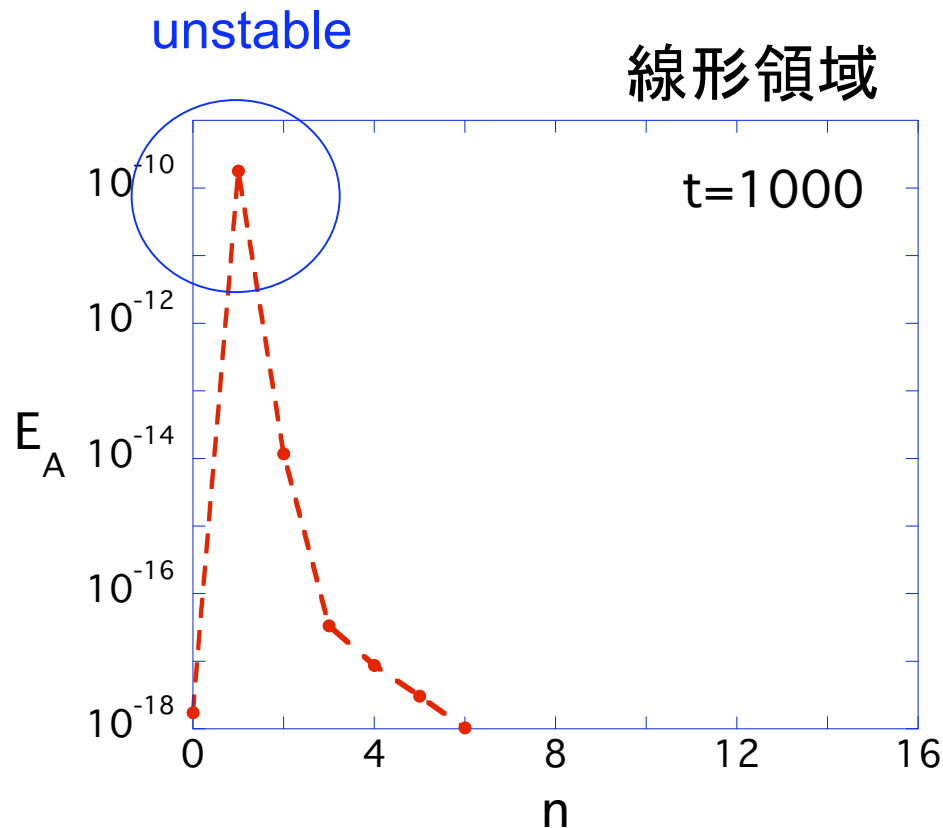
シングルヘリシティ:  $\frac{m}{n} = 2$

非線形シミュレーション :

フーリエスペクトル法

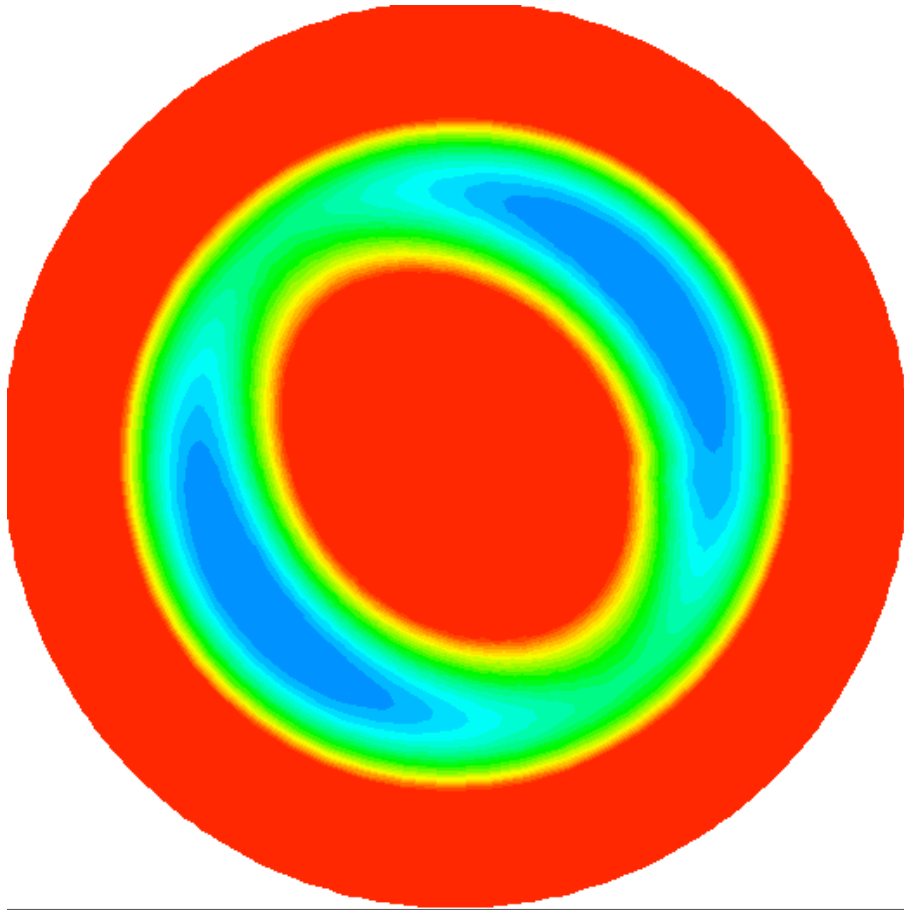


# 不安定なモード



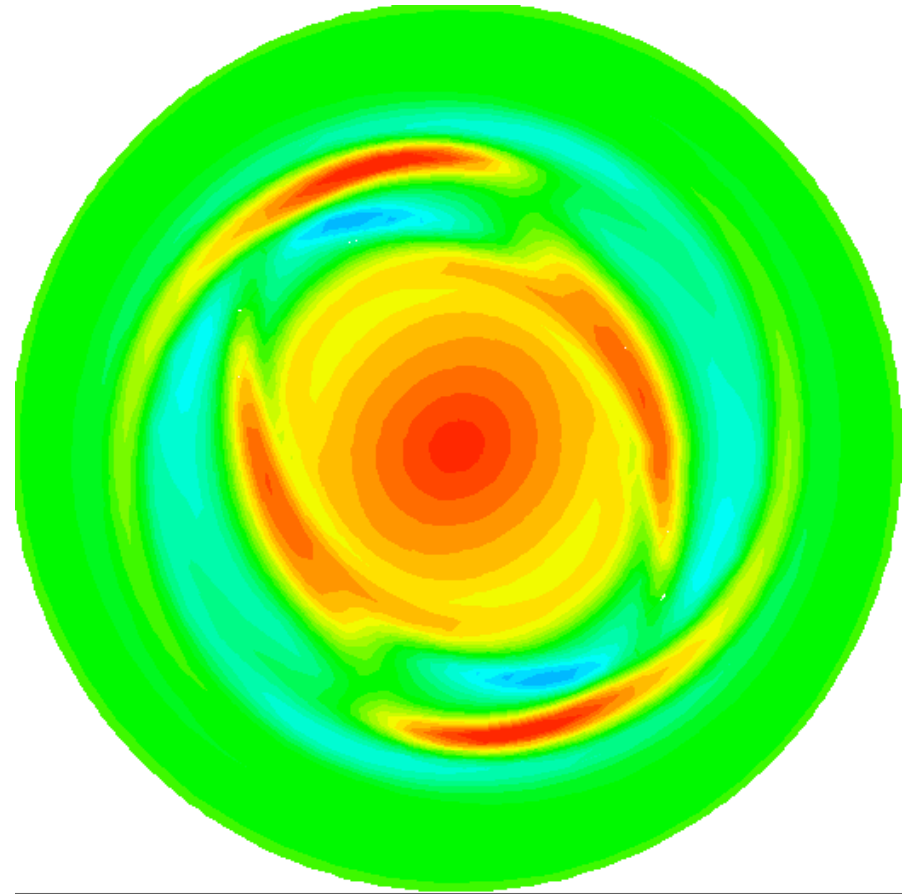
線形領域では(2,1)のテアリングモードのみ不安定  
(線形の抵抗性ドリフトモードは安定)

# ポロイダル断面図



ヘリカルフラックス

$$A_0 + r^2/4 + \sum A_{m,n} e^{i(m\theta - nz)}$$

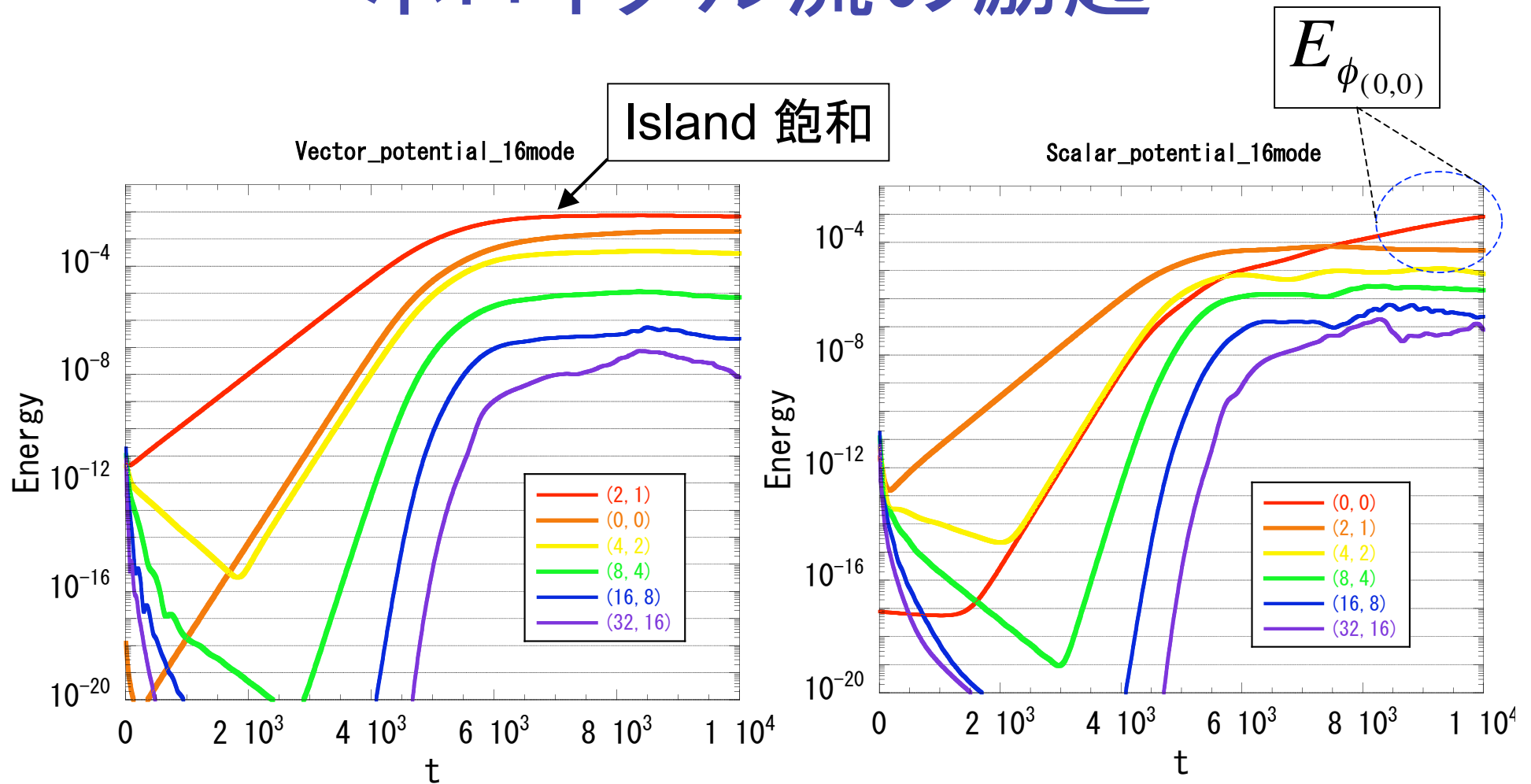


E×Bドリフト速度

$$V_{E \times B} = \sum \partial \phi_{m,n} / \partial r$$

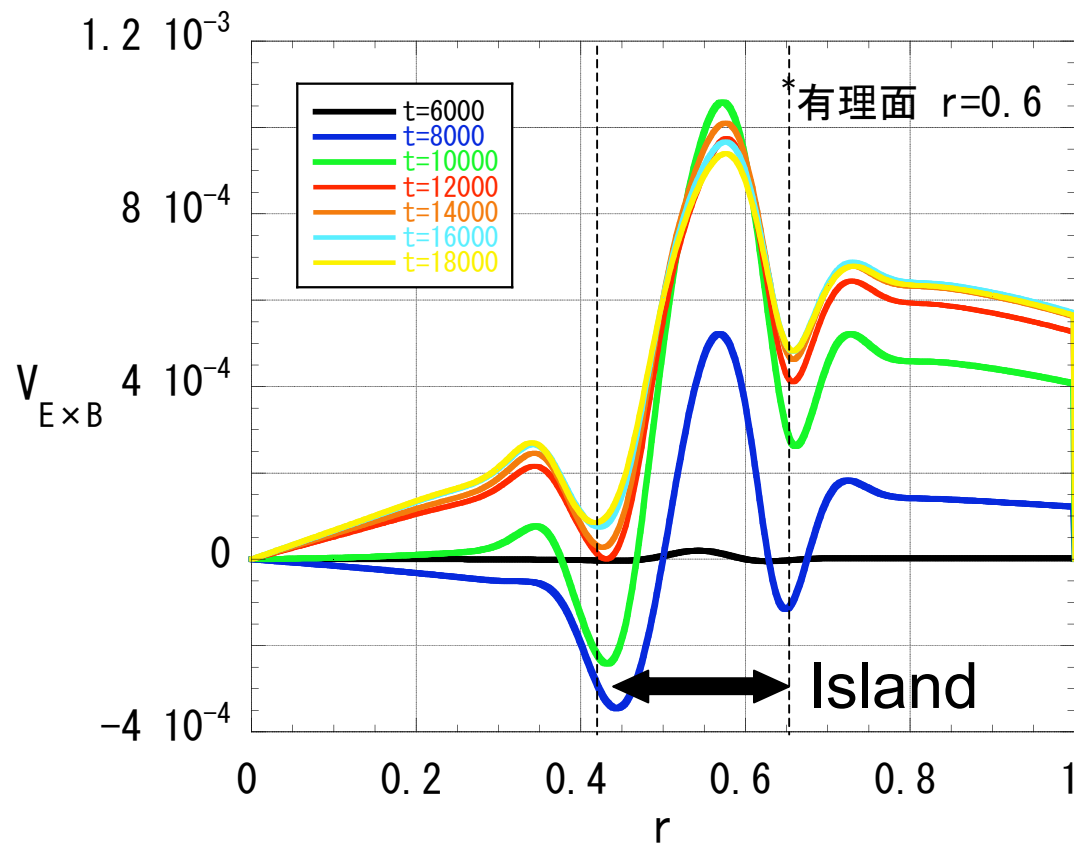


# ドリフト-テアリングモードによるポロイダル流の励起



※ ドリフト波が共存しない場合、励起は小さい。

# ポロイダル流の径分布




- 径分布 時間発展

- 弱いシア-フロー

$$V_{E \times B} = \frac{\partial}{\partial r} \tilde{\phi}_{0,0}$$

# ポロイダル流エネルギーの 時間変化

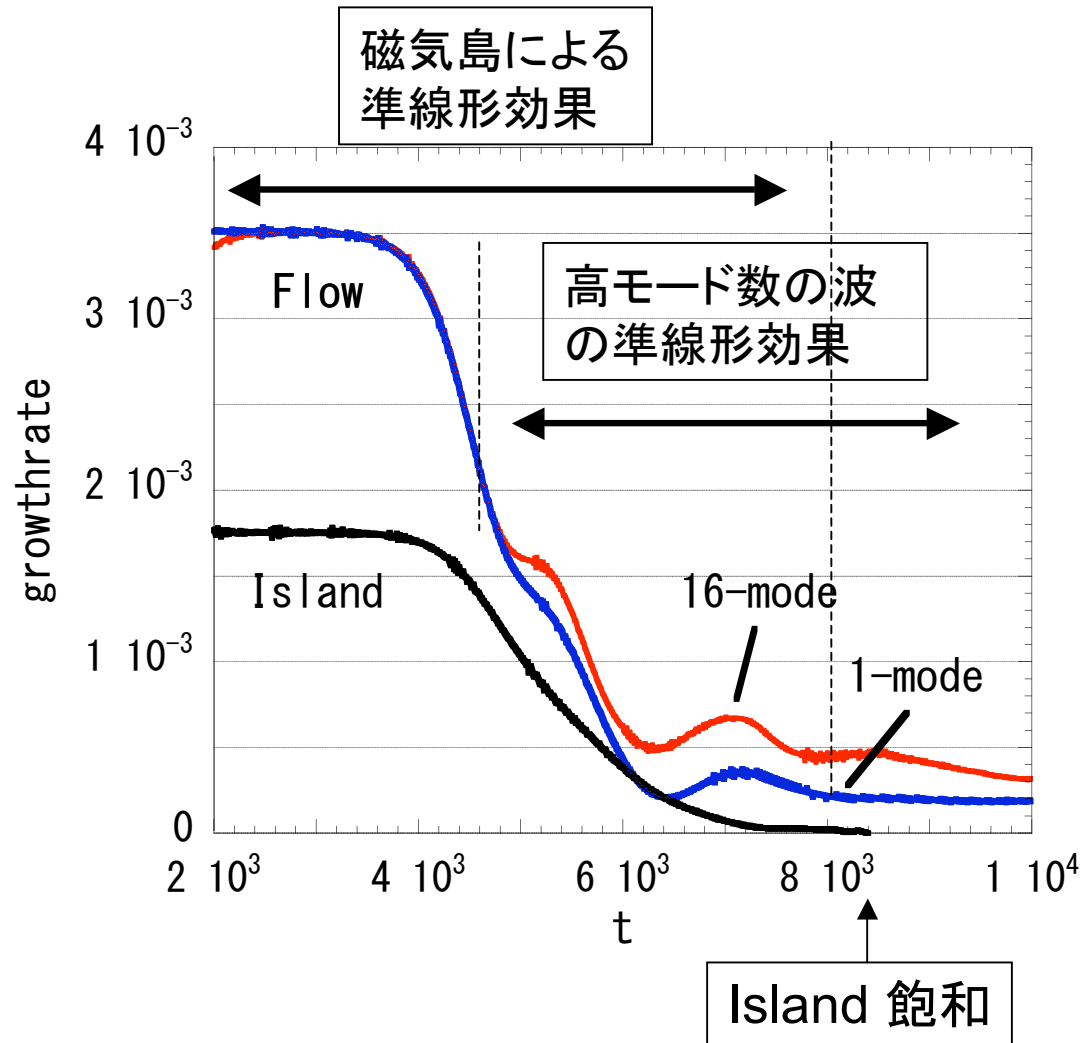
$$\frac{1}{2} \frac{\partial}{\partial t} \left\langle \left| \nabla_{\perp} \tilde{\phi}_{0,0} \right|^2 \right\rangle = \underbrace{\left\langle \tilde{\phi}_{0,0} \left[ \tilde{\phi}, \nabla_{\perp}^2 \tilde{\phi} \right]_{0,0} \right\rangle}_{\text{静電揺らぎによる生成}} + \underbrace{\left\langle \tilde{\phi}_{0,0} \left[ \tilde{A}, \tilde{j}_{\parallel} \right]_{0,0} \right\rangle}_{\text{磁場エネルギーの流入}} - \underbrace{\mu \left\langle \tilde{\phi}_{0,0} \nabla_{\perp}^4 \tilde{\phi}_{0,0} \right\rangle}_{\text{粘性による減衰効果}}$$

$\left\langle \tilde{\phi}_{0,0} \nabla_{\perp}^4 \tilde{\phi}_{0,0} \right\rangle = \left\langle \left( \nabla_{\perp}^2 \tilde{\phi}_{0,0} \right)^2 \right\rangle > 0$   


飽和レベル 粘性がこれらを上回るとき

$\langle \rangle$  : 体積積分

# ポロイダル流の成長率



$$\frac{1}{2} \frac{\partial}{\partial t} \langle |\nabla_{\perp} \tilde{\phi}_{0,0}|^2 \rangle = \langle \tilde{\phi}_{0,0} [ \tilde{\phi}, \nabla_{\perp}^2 \tilde{\phi} ]_{0,0} \rangle + \langle \tilde{\phi}_{0,0} [ \tilde{A}, \tilde{j}_{\parallel} ]_{0,0} \rangle - \mu \langle \tilde{\phi}_{0,0} \nabla_{\perp}^4 \tilde{\phi}_{0,0} \rangle$$

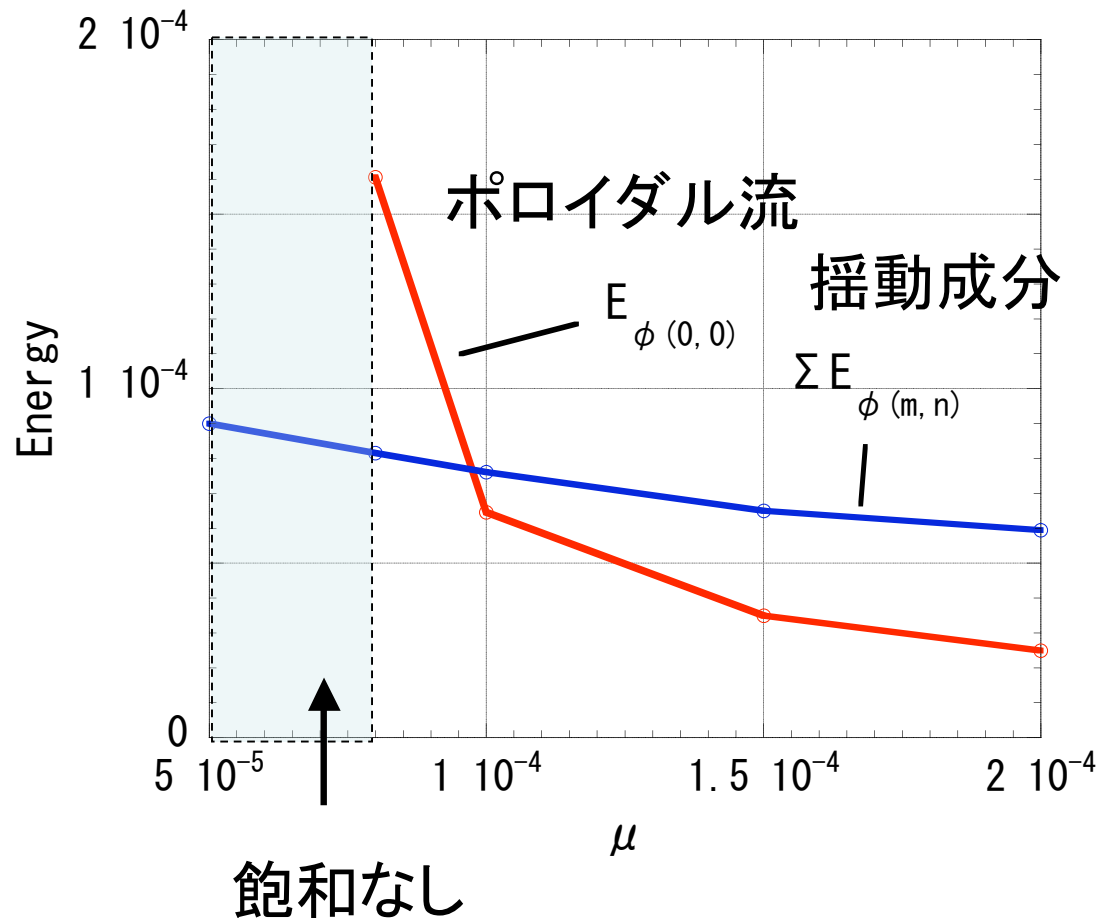
## • 準線形効果

$$\gamma_{Flow} \approx 2\gamma_{Island}$$

$$(E_{Flow} \propto E_{Island}^2)$$

モード数を多く取る  
→ エネルギー流入増加

# ポロイダル流のイオン粘性への依存性

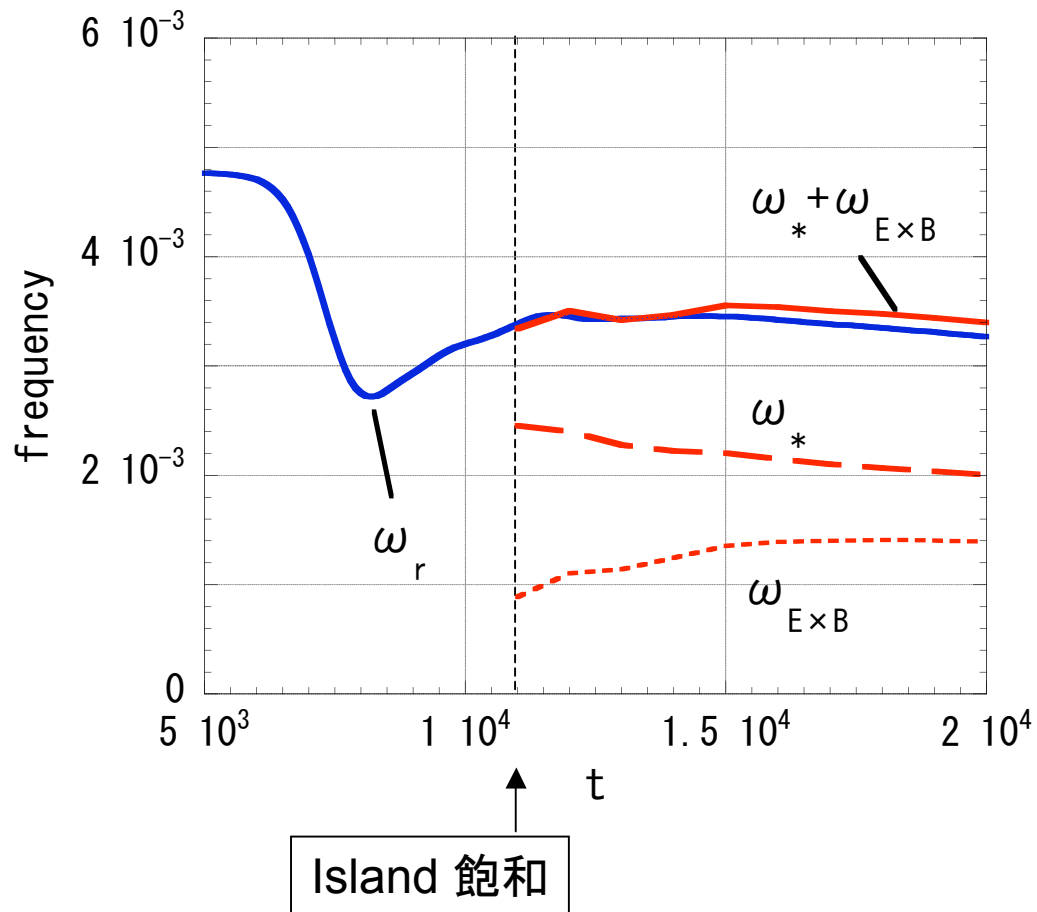


$$\frac{1}{2} \frac{\partial}{\partial t} \langle |\nabla_{\perp} \tilde{\phi}_{0,0}|^2 \rangle = \langle \tilde{\phi}_{0,0} [\tilde{\phi}, \nabla_{\perp}^2 \tilde{\phi}]_{0,0} \rangle + \langle \tilde{\phi}_{0,0} [\tilde{A}, \tilde{j}_{\parallel}]_{0,0} \rangle - \mu \langle \tilde{\phi}_{0,0} \nabla_{\perp}^4 \tilde{\phi}_{0,0} \rangle$$

- ポロイダル流  
強い依存性
- ポテンシャルの揺動成分  
比例関係

※ 飽和するケースは最大値をプロット

# 回転周波数の時間発展



E×Bドリフト:

$$\omega_{E \times B} = -\delta k_{\perp} \langle \tilde{\phi}_{0,0} \rangle$$

反磁性ドリフト:

$$\omega_* = -\delta k_{\perp} \langle n'_0 + 1.71T'_0 \rangle$$

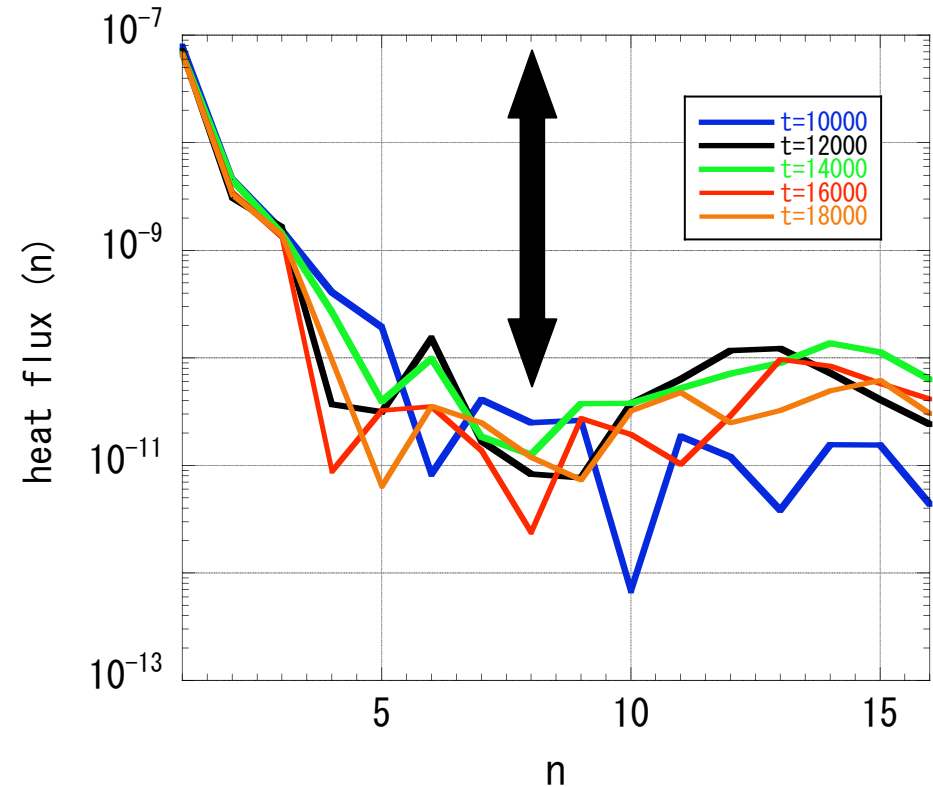
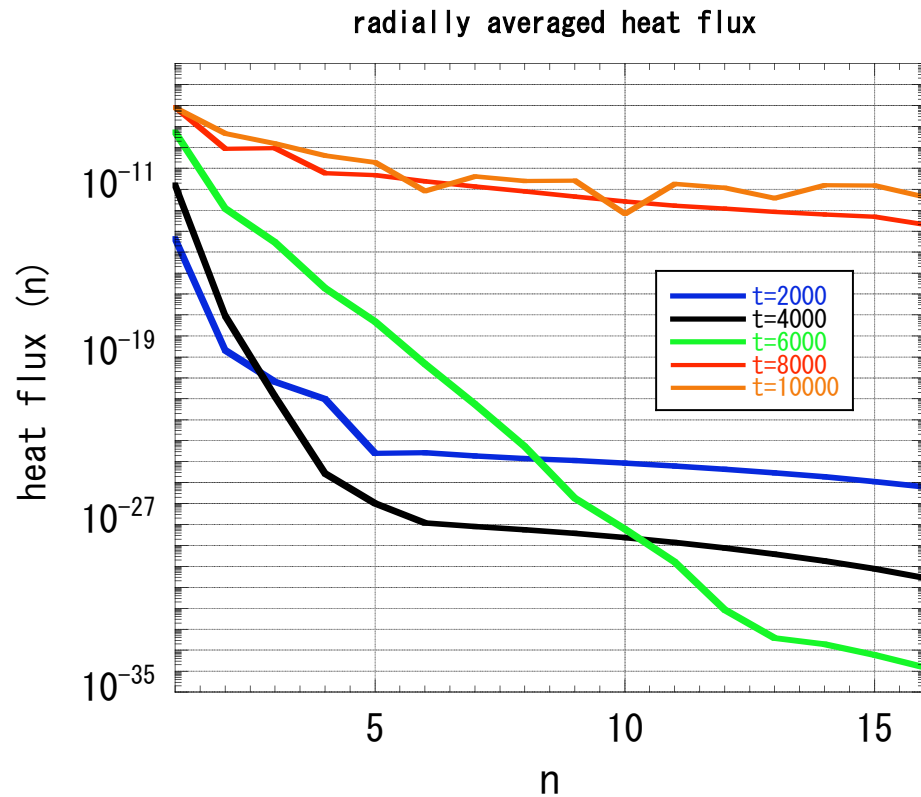
おおよそ

$$\omega_r \approx \omega_{E \times B} + \omega_*$$

# 各時刻における波数ごとの熱流束

t=2000-10000

t=10000-18000

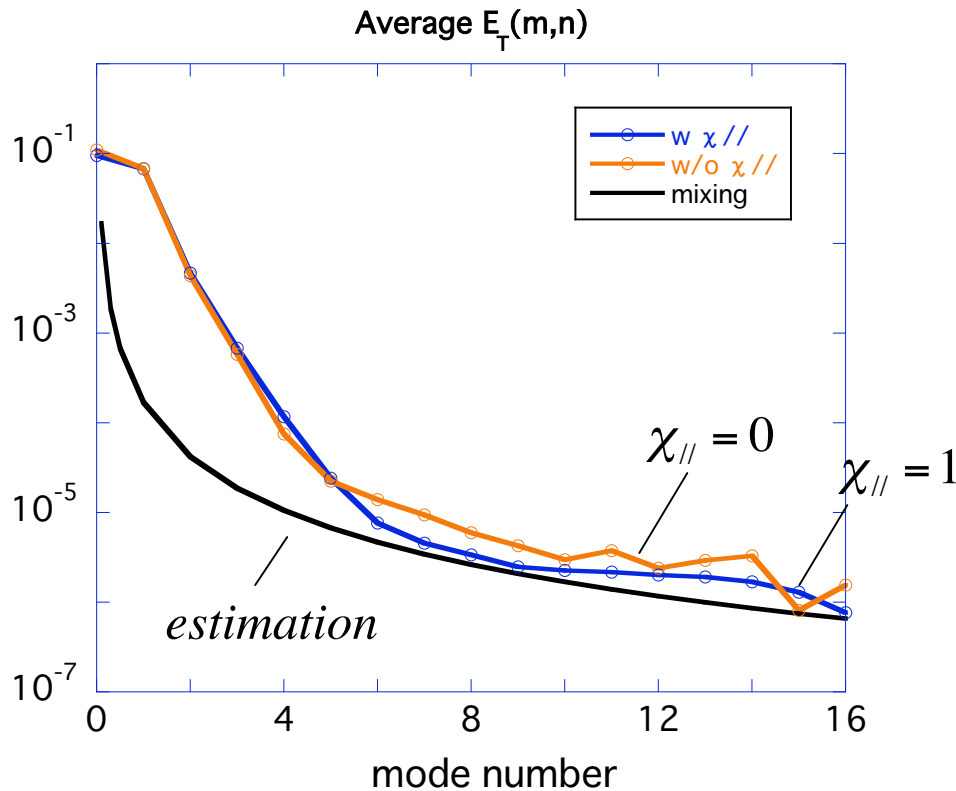


$$\Gamma_{heat} = \sum_n \left\langle \tilde{T} \cdot (\tilde{v}_{E \times B})_r \right\rangle_n$$

それぞれ成分の径方向の平均値についての絶対値をプロット。

# 摂動温度の飽和レベル

## 摂動温度エネルギーの概算



Mixing length:

$$\frac{\tilde{T}}{T_0} \approx \frac{1}{k_{\perp} L_T}$$

$$\Downarrow \quad k_{\perp} \approx k_{\theta} = \frac{m}{r_s}$$

$$E_T = \frac{3}{4} |\tilde{T}|^2 \approx \frac{3}{4} \left( \frac{\beta r_s}{\varepsilon} \right)^2 m^{-2}$$

安定なドリフト波であるが、不安定なドリフト波と同じ程度の値まで成長して飽和する。



# 結論

- 簡約2流体モデル ドリフト-テアリングモードの非線形シミュレーション
- ポロイダル流 ( $E \times B$ ) の生成  
磁場エネルギーの流入 飽和エネルギーの強いイオン粘性依存 (流れ場の緩い径分布と関連 (示唆))
- 回転周波数  
反磁性ドリフトと  $E \times B$  ドリフトの和と良い一致
- 熱流束  
熱流は低モード数 (磁気島) が支配
- ドリフト波の飽和レベル  
混合長理論と良い一致 (成長率は負にも関わらず)

今後の研究 (短期的) 他の輸送係数への依存性

(長期的) インターチェンジやバルーニング乱流との共存